

# 在阈能附近的 $\pi N \rightarrow \eta N$ 反应和 $\eta N$ 散射\*

姜 换 清

(中国科学院高能物理研究所和理论物理所, 北京 100039)

王 滩 滩

(中国科学院理论物理所, 北京 100080)

## 摘要

本文提出了  $\pi$  介子与核子作用产生  $\eta$  粒子的  $N^*(1535)$  激发模型, 计算了在阈能附近的  $\pi N \rightarrow \eta N$  反应截面以及  $S$ -波  $\eta N$  散射长度, 并与实验及其他理论作了比较。

## 一、引言

$\eta$  粒子、K 介子和  $\pi$  介子属于同一个  $SU(3)$  的八重态。  $\pi$  介子和 K 介子与原子核的相互作用的研究已经取得了重要的进展, 并且为核的激发方式以及核物质的新形态的研究提供了重要的信息。相比之下, 人们对于  $\eta$  粒子与原子核的相互作用几乎一无所知, 对于  $\eta$  和核子的作用也了解得很少。一个重要的困难在于  $\eta$  粒子的寿命很短, 其平均寿命只有  $0.75 \times 10^{-18}$  秒, 不可能在实验室中产生  $\eta$  介子束流。所有有关  $\eta N$  相互作用的信息都只能间接地得到。目前, 在美国 Los Alamos 的介子工厂用  $\pi$  介子在原子核上产生  $\eta$  介子的实验研究计划, 正在为  $\eta$ -核作用的机制提供重要信息<sup>[1,2]</sup>。在理论研究方面, 利用一种耦合道的方法, R.S. Rhalerao 和 L.C. Liu 考虑了  $N^*(1440)$ ,  $N^*(1520)$  和  $N^*(1535)$  三个共振, 通过符合  $\pi N$  的散射相移, 定出  $\pi NN^*$ ,  $\eta NN^*$  和  $\pi\pi NN^*$  的耦合常数, 预言了  $\eta N$  相互作用的特点<sup>[3]</sup>, 并由此预言了  $\eta$ -核形成束缚态的可能性<sup>[4]</sup>。李扬国和姜换清在 DWIA 的理论框架下, 讨论和预言了  $\pi$  在原子核上产生  $\eta$  介子的“电荷交换”反应的特点<sup>[5]</sup>, 而所输入的基本过程取自实验的参数化的形式。

从基本粒子性质表可以发现<sup>[6]</sup>, 在质心能量小于 1700 MeV 时, 在一系列  $N^*$  共振态中, 仅仅  $N^*(1535)$  具有较大的分支比 (45—55%) 衰变成  $\eta N$ , 而通过其他共振产生  $\eta$  的可能性都极小, 可以忽略。换句话说,  $\eta N$  与  $N^*(1535)$  具有强的耦合, 与其他共振态的耦合极弱。因此, 当我们研究  $\eta$ -N 相互作用时, 可以假定  $N^*(1535)$  共振模型。另一方面,  $N^*(1535)$  与  $\eta N$  耦合的重要实验信息是  $N^*(1535)$  衰变成  $\eta N$ 、 $\pi N$  以及  $\pi\pi N$  的分支比以及  $\pi^- p \rightarrow \eta n$  反应的截面。对于  $\pi N$  道, 除  $N^*(1535)$  共振有

本文 1990 年 12 月 11 日收到。

\* 国家自然科学基金资助的课题。

贡献以外,其他机制也可以对  $\pi N$  作用有重要贡献。因此,在研究  $\eta N$  作用时,  $\pi N$  散射相移并不是有关系的,其衰变分支比以及  $\eta$  产生的截面才是相关的物理量。基于上述考虑,姜焕清、E. Oset 和刘龙章假定了一种形式的相互作用哈密顿量,通过  $N^*(1535)$  衰变各道的分支比及总宽度定出了  $\pi NN^*$ ,  $\eta NN^*$  和  $\pi\pi NN^*$  的耦合常数。由此出发,得到了  $\eta$ -核的光学势,通过求解克莱因-戈登方程,研究了  $\eta$ -核形成束缚态的可能性<sup>⑦</sup>。

然而,在能量为 0.6—1GeV 的能区,  $\pi$  介子在自由核子上引起的  $\eta$  产生反应,即  $\pi^- p \rightarrow \eta n$ ,是一个重要的反应道。上述方法定出的  $\eta NN^*$  等耦合常数,应该给出阈能附近的  $\pi^- p \rightarrow \eta n$  反应截面,本文将在文献 [7] 给出的相互作用哈密顿量的基础上,计算  $\pi^- p \rightarrow \eta n$  反应的截面,研究  $N^*(1535)$  的质量和平均宽度等因素对反应截面的影响,并计算  $S$  波  $\eta N$  散射长度,对低能  $\eta N$  相互作用的特点作一些分析。

第二节将简要概括我们的理论公式,第三节给出数值结果和讨论。

## 二、基本理论公式

从基本粒子表可知,  $N^*(1535)$  的质量为 1520 到 1560 MeV, 平均能量为 1535 MeV; 宽度在 110 到 250 MeV 之间,其平均值为 150 MeV。它衰变到  $\pi N$ 、 $\eta N$  和  $\pi\pi N$  各道的分支比分别为 35—45%, 45—55% 和 10%。考虑到  $N^*(1535)$  的三种可能的衰变,我们需要知道  $\pi NN^*$ ,  $\eta NN^*$  和  $\pi\pi NN^*$  的耦合常数。为此,考虑到参与反应的粒子的量子数,对于  $\pi NN^*$ 、 $\eta NN^*$  和  $\pi\pi NN^*$  耦合,我们可以取如下形式的相互作用哈密顿量<sup>⑦</sup>:

$$\begin{aligned}\delta H_{\pi NN^*} &= -ig_\pi \bar{\psi}_{N^*}(x) \phi(x) \tau \psi_N(x) + \text{h.c.}, \\ \delta H_{\eta NN^*} &= -ig_\eta \bar{\psi}_{N^*}(x) \phi_N(x) \phi_\eta(x) + \text{h.c.}, \\ \delta H_{\pi\pi N N^*} &= -iC \bar{\psi}_{N^*}(x) \gamma_5 \psi_N(x) \phi(x) \phi(x) + \text{h.c.}.\end{aligned}\quad (1)$$

其中,  $g_\pi$ ,  $g_\eta$  和  $C$  分别对应于上述三种耦合的耦合常数。利用标准的费曼规则,可以计算由于  $\pi N$  道、 $\eta N$  道和  $\pi\pi N$  道的衰变而提供的  $N^*(1535)$  的自能。相应的衰变宽度  $\Gamma^{(i)}(q)$  与通过该道提供的自能  $\Sigma^{(i)}(q)$  有如下的关系

$$\frac{\Gamma^{(i)}(q)}{2} = -\text{Im} \Sigma^{(i)}(q). \quad (2)$$

其中  $q$  为  $N^*(1535)$  的四动量。利用已知的  $N^*$  的总宽度和各道分支比的实验值,不难从 (2) 式定出相互作用哈密顿量 (1) 式中的耦合常数  $g_\pi$ ,  $g_\eta$  和  $C$ 。

对于  $\pi N \rightarrow \eta N$  反应,我们需要计算图 1 所示的费曼图,其  $T$  矩阵为:

$$\begin{aligned}-iT &= (-i)g_\pi \frac{1}{\sqrt{s} - M_{N^*} + i\Gamma(\sqrt{s})/2} (-i)g_\eta \\ &\quad + (-i)g_\pi \frac{1}{\sqrt{s} - M_{N^*} + i\Gamma(\sqrt{s})/2 - \omega_\pi(K_\pi) - \omega_\eta(K_\eta)} (-i)g_\eta\end{aligned}\quad (3)$$

其中  $\Gamma(\sqrt{s}) = \Gamma^{(\pi N)} + \Gamma^{(\eta N)} + \Gamma^{(\pi\pi N)}$ ,  $\sqrt{s}$  为系统的不变能量,  $M_{N^*}$  为  $N^*(1535)$  的平均质量,  $k_\pi$ ,  $k_\eta$  分别为  $\pi$  和  $\eta$  介子的动量。(3) 式中第一项相当于图 1 中的直接项

(a), 而第二项相当于交换项 (b). 利用 Bjorken-Drell 约定, 我们可以得到  $\pi N \rightarrow \eta N$  反应的截面公式。

$$\frac{d\sigma}{dn} = \frac{M_p^2}{(4\pi)^2} \cdot \frac{1}{s} \cdot \frac{\lambda^{1/2}(s, m_\pi^2, M_p^2)}{\lambda^{1/2}(s, m_\eta^2, M_n^2)} \cdot \bar{\Sigma} |T|^2, \quad (4)$$

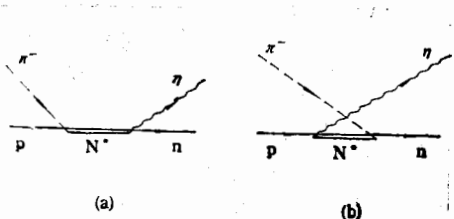


图 1  $\pi^- p \rightarrow \eta n$  反应的费曼图  
(a) 直接项; (b) 交叉项

其中  $\bar{\Sigma}$  表示对核子初态自旋取向求平均, 对末态自旋取向求和.  $m_\pi$ ,  $m_\eta$  和  $M_{n(p)}$  分别为  $\pi$ ,  $\eta$  和中子(质子)的质量.  $\lambda(x, y, z)$  为 Källen 函数.

利用公式 (4), 我们可以计算不同能量下,  $\pi^-$  在质子上引起的  $\eta$  介子产生的截面.

### 三、数值结果和讨论

利用上节的公式, 我们首先讨论耦合常数  $g_\pi$ ,  $g_\eta$  和  $c$  与  $N^*$  质量及衰变宽度取值的关系. 在基本粒子性质表中<sup>[6]</sup>建议了  $N^*$  的平均质量为 1535 MeV, 衰变宽度为 150 MeV. 但是这些数值有很大的不确定性. 假定取  $N^* \rightarrow \pi N$ ,  $N^* \rightarrow \eta N$  和  $N^* \rightarrow \pi \pi N$  的分支比为 40%, 50% 和 10%. 我们得到  $g_\pi$ ,  $g_\eta$  和  $C$  分别为 0.664, 2.06 和  $9.23 m_\pi^{-1}$ . 为了研究不同的  $N^*$  质量及宽度的取值对耦合常数的影响, 在表 1 中我们给出了另外三种情况的结果. 可见, 不同的  $N^*(1535)$  的平均质量及宽度的选取, 对耦合常数有一定影响. 我们将通过  $\pi N \rightarrow \eta N$  反应, 进一步确定这些参数.

表 1 相互作用耦合常数

	$M_{N^*}(\text{MeV})$	$\Gamma(\text{MeV})$	$g_\eta$	$g_\pi$	$C(m_\pi^{-1})$
I	1535	110	1.75	0.568	11.18
II	1555	110	1.613	0.564	10.09
III	1610	110	1.408	0.552	7.99

利用公式 (4) 和表 1 中的耦合常数, 可以计算在阈能附近  $\pi N \rightarrow \eta N$  反应截面. 图 2 给出了不同的  $N^*$  质量及衰变总宽度的选取情况下, 反应截面与质心总能量的关系. 图中的三条曲线分别对应于表 1 中三种不同取值的结果. 实验数据取自文献 [8]. 与实验结果的比较可见, 当取  $M_{N^*} = 1555 \text{ MeV}$ ,  $\Gamma = 110 \text{ MeV}$  时, 在阈能附近, 理论结果与实验符合得比较好. 在质心能量大于 1600 MeV 时, 理论结果比实验值系统地偏小. 这是由于, 在较高的能量下, 更高能量的  $N^*$  共振态对  $\eta$  产生会有贡献. 例如  $N^*(1710)$

有25%的分支比衰变成 $\eta N$ ,这将会对能量高于1600 MeV的 $\pi^-N \rightarrow \eta N$ 反应有重要贡献,而在阈能附近,它的贡献很小。由此,我们可以得出结论,利用 $M_{N^*} = 1555\text{MeV}$ 和 $\Gamma = 110\text{MeV}$ 所得到的相互作用耦合常数,在低能区还是比较可靠的。

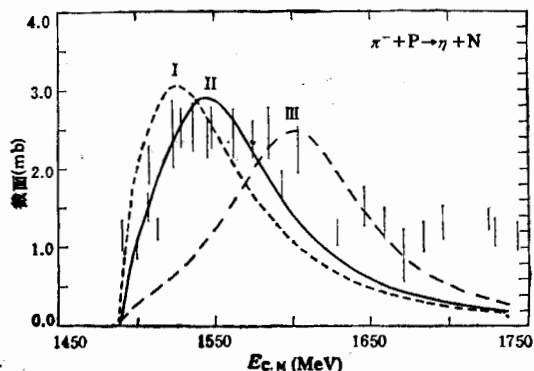


图2  $\pi^-p \rightarrow \eta n$  反应的总截面

利用上述结果,可以进一步计算S波 $\eta N$ 散射长度,从而对 $\eta N$ 相互作用的特点有所认识。计算结果在表2中给出。表中也同时给出了其他人的理论结果,可见,不同的理论模型给出的S波 $\eta N$ 散射长度有一个共同的特点,即散射长度的实部为正。这表明,低能 $\eta N$ 相互作用是吸引的。但不同的理论得到的散射长度的数值差异很大。我们的第二组耦合常数得出的结果与文献[3]比较接近。对于 $\eta N$ 相互作用的强度,有待其他实验的进一步检验。

表2  $\eta-N$  S波散射长度

理 论	$a_0(\text{fm})$
本文 I	$0.506 + i0.256$
本文 II	$0.340 + i0.117$
本文 III	$0.155 + i0.027$
文献 [3]	$0.28 + i0.19$
文献 [9]	$0.83 + i0.05$

总之,本文利用 $N^*(1535)$ 共振模型,研究了 $\pi^-N \rightarrow \eta N$ 反应并与实验作了比较。该模型较好地给出了阈能附近 $\eta$ 产生的截面,并预言了 $\eta N$ 相互作用的性质。这一结果可以进一步用于研究 $\pi$ 在原子核上引起的 $\eta$ 产生反应。

### 参 考 文 献

- [1] J. C. Peng, Proc. of International Symposium on Medium Energy Physics, World Scientific, (1987), P. 336.
- [2] J. C. Peng et al., *Phys. Rev. Lett.*, **58**(1987), 2027.
- [3] R. S. Bhalerao and L. C. Liu, *Phys. Rev. Lett.*, **54**(1985), 865.
- [4] Q. Haider and L. C. Liu, *Phys. Lett.*, **172**(1986), 257.
- [5] Li Yang-guo and Chiang Huan-ching, *Nucl. Phys.*, **A454**(1986), 720.

- [6] Review of Particle Properties, *Phys. Lett.*, **170B**(1986), 1.
- [7] H. C. Chiang, E. Oset and L. C. Liu, submitted to *Phys. Rev. C*.
- [8] V. Flaminio et al., CERN-HERA 79-03(1979).
- [9] S. F. Tuan, *Phys. Rev.*, **B139**(1965), 1393.

## The $\pi N \rightarrow \eta N$ Reactions near Threshold and $\eta$ -N Scatterings

JIANG HUANQING<sup>a,b)</sup> WANG WEIWEI<sup>b)</sup>

a)(Institute of High Energy Physics, Academia Sinica Beijing 100039)

b)(Institute of Theoretical Physics, Academia Sinica, Beijing 100080)

### ABSTRACT

The  $N^*(1535)$  model is proposed for pionic  $\eta$ - production reactions. The  $\pi N \rightarrow \eta N$  reaction cross sections near threshold and the  $S$ -wave  $\eta$ -N scattering length are calculated and compared with the experimental data and other theoretical calculations.